

任意形状の面の運動の追跡

Motion Detection of an Arbitrary Shaped Plane Surface

金谷健一 (群馬大学工学部情報工学科)

Ken-ichi Kanatani (Department of Computer Science, Gunma University)

Motion of a plane surface in the three dimensional space is detected from the motion of its contour image on the plane of vision. There is no need to know the correspondence of points. The motion is explicitly given by a direct computation of "diameters" of the image contour.

1. はじめに

面の3次元運動を投影面上の2次元運動のみから計算することは動画像認識の基本的課題のひとつである。通常はどの点かどの点に移動するかという"対応点探索"を行なう、画面上に"速度場"あるいは"オプティカルフロー"を求めて、これを解析する。例えば運動を調べようとする面が多面体のひとつの面であれば頂点は頂点に移動する。しかし、面が任意形状、たとえば円や楕円のような曲線であれば、対応点を求めるのが簡単ではない。一般に対応点探索は手向がかかる。しかも、対応点を求め、速度場を求めても、これと並進や回転の成分に分離しなければならぬし、これを少数の対応点から決めようとするとは局所的誤差の影響を受けやすい。

以上のことから、対応点を求めることなしに面の運動を知る方法が望ましい。しかも、はじめから並進と回転とが分離しているようにデータを測定し、局所誤差の影響も受けにくいものが望ましい。さらに、計算は反復やマッシュアップのような最適化探索を含まず、"直接的な公式"で与えられるのが望ましい。なぜなら最適化探索などでは収束の問題がまじ、その計算時間もあらかじめ見積るのが難しい場合が多いからである。

以下で述べる方法は"ステレオロジ"、"積分幾何学"を用いた金谷[4][2]の方法の拡張である[3]。[1][2]では広がりをも、面上にテキストの存在するとき、そのテキストの線素の分布の変化に着目するものであり、たが、ここではテキストはないとする。以下で必要なのは、面が"平面"であり、"閉じた境界線"をもつことのみである。

2. 面の向きと回転の表示

本論文では画面への正射影による画像のみを考える。(中心射影は金谷[4].) したが、画面からの距離は問題にならないから、面はXYZ座標の原点を通ると仮定し、XY-面が画面であるとして一般性を失わない。すなわちZ軸に平行に射影するとする。面の傾きを表す方法はいろいろ考えられる。まず考えられるのは面の単位法線ベクトル $n = (n_1, n_2, n_3)$ を用いることである、ただし n と $-n$ とは同じ傾きを表すから、例えば $n_3 > 0$ と約束する。(面が画面と直交する $n_3 = 0$ の場合は考えない。) n を用いると面の方程式は $n_1 x + n_2 y + n_3 z = 0$ となる。

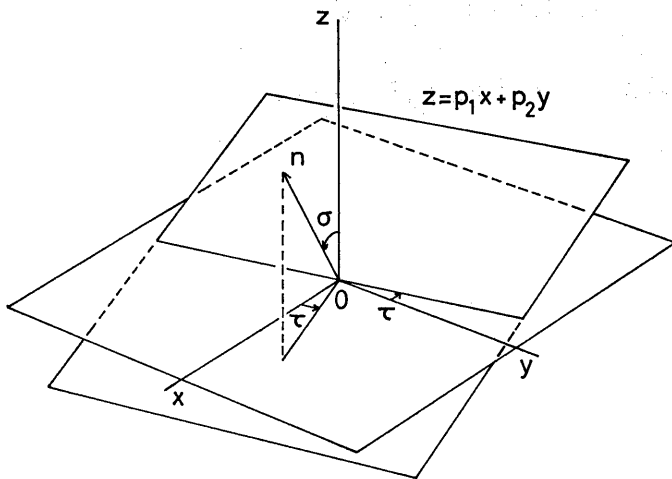


図1. 面の向きを指定する3つの方法。
 (1) 単位法線ベクトル n
 (2) スラント σ , ティルト τ
 (3) グラジエント (p, δ)

あるいは n を球面座標 σ, τ で表してもよい (図1)。 $0 \leq \sigma < \pi/2$, $0 \leq \tau < 2\pi$ であり、それぞれ "スラント", "ティルト" とよばれている。そして、原点を通り z 軸から角度 τ である xy -面上の直線のまわりには xy -面を (右ねじ方向に) 角度 σ だけ回転して、その面が得られる。一方、"グラジエント" $p = \partial z / \partial x$, $\delta = \partial z / \partial y$ を用いてもよい。面の方程式は $z = px + \delta y$ となる。これらの表示のどれも互いに等価であり、それらの関係は次のように整理できる。

(i) 法線 vs. スラント・ティルト

$$\begin{cases} n_1 = \sin \sigma \cos \tau \\ n_2 = \sin \sigma \sin \tau \\ n_3 = \cos \sigma \end{cases} \quad (2.1) \qquad \begin{cases} \sigma = \cos^{-1} n_3 \\ \tau = \tan^{-1} (n_2/n_1) \end{cases} \quad (2.2)$$

(ii) スラント・ティルト vs. グラジエント

$$\begin{cases} p = -\tan \sigma \cos \tau \\ \delta = -\tan \sigma \sin \tau \end{cases} \quad (2.3) \qquad \begin{cases} \sigma = \tan^{-1} \sqrt{p^2 + \delta^2} \\ \tau = \tan^{-1} (\delta/p) \end{cases} \quad (2.4)$$

(iii) グラジエント vs. 法線

$$\begin{cases} p = -n_1/n_3 \\ \delta = -n_2/n_3 \end{cases} \quad (2.5) \qquad \begin{cases} n_1 = -p/\sqrt{p^2 + \delta^2 + 1} \\ n_2 = \delta/\sqrt{p^2 + \delta^2 + 1} \\ n_3 = 1/\sqrt{p^2 + \delta^2 + 1} \end{cases} \quad (2.6)$$

ただし (2.2) (2.4) の \tan^{-1} , \cos^{-1} は n や p, δ の符号を考慮して適切な値を選ぶものとする。

次に回転を考える。3次元回転はある軸のまわりの (右ねじ方向の) ある角度の回転で表わせる。回転軸の方向余弦を (l, m, n) とし、回転角を Ω とすれば、点 (x, y, z) は回転の結果、次の式で表される点に移る。

$$\begin{cases} x' = x \cos \Omega + l(1 - \cos \Omega)(lx + my + nz) + (mz - ny) \sin \Omega \\ y' = y \cos \Omega + m(1 - \cos \Omega)(lx + my + nz) + (nx - lz) \sin \Omega \\ z' = z \cos \Omega + n(1 - \cos \Omega)(lx + my + nz) + (ly - mx) \sin \Omega \end{cases} \quad (2.7)$$

しかし、運動を刻々と追跡することと考えると、このような“有限回転”ではなく“無限小回転”によ、て表すほうが便利である。(回転群の生成作用素を考える)
 $(\omega_1, \omega_2, \omega_3)$ を角速度ベクトルとする。すなわち、方向 $(\omega_1, \omega_2, \omega_3)$ の軸の回りに瞬間角速度 $\sqrt{\omega_1^2 + \omega_2^2 + \omega_3^2}$ で回転しているとする。考えている面上の点がこの角速度で回転しているとき、上に示した面の向きのパラメータは次のように変化することがわかる。

(i) 法線
$$\begin{cases} dn_1/dt = n_3\omega_2 - n_2\omega_3 \\ dn_2/dt = -n_3\omega_1 + n_1\omega_3 \\ dn_3/dt = n_2\omega_1 - n_1\omega_2 \end{cases} \quad (2.8)$$

(ii) スラント・テイルト
$$\begin{cases} d\sigma/dt = -\omega_1 \sin \tau + \omega_2 \cos \tau \\ d\tau/dt = -(\omega_1 \cos \tau + \omega_2 \sin \tau) / \tan \sigma + \omega_3 \end{cases} \quad (2.9)$$

(iii) グラジエント
$$\begin{cases} dp/dt = p\gamma\omega_1 - (p^2 + 1)\omega_2 - \gamma\omega_3 \\ d\gamma/dt = (\gamma^2 + 1)\omega_1 - p\gamma\omega_2 + p\omega_3 \end{cases} \quad (2.10)$$

このように回転している面上の点を画面上に射影すると、次のような“速度場”あるのは“オペティカルフロー”となる。

$$\begin{cases} dx/dt = p\omega_2 x + (\gamma\omega_2 - \omega_3)y \\ dy/dt = -(p\omega_1 - \omega_3)x - \gamma\omega_2 y \end{cases} \quad (2.11)$$

3. 周の分布密度と“直径”

運動している面が閉じた境界線をもてば、その像は画面上の閉曲線となる。この閉曲線の“分布密度” $f(\theta)$ を次のように定義する。まず閉曲線を長さ dl の無限小の長さの線素に分割する。線素の向きは x 軸からの角度 θ で指定されるが、 θ と $\theta + \pi$ とが同じ方向を表すため、どちらかをラジアンに確率 $1/2$ で選ぶことにする。そして、方向が θ と $\theta + d\theta$ との間にある線素の総長が $f(\theta)d\theta$ であるように $f(\theta)$ を定義する。 $f(\theta) = f(\theta + \pi)$ であり、 $\int_0^{2\pi} f(\theta)d\theta$ が周長となる。

以上の定義は概念的なものであり、 $f(\theta)$ を実測したりする必要はない。実測するのは図2に示す“直径” $D(\theta)$ 、すなわち方向 θ の直線ではさむときの幅である。これは $0 \leq \theta < 2\pi$ で定義され、 $D(\theta) = D(\theta + \pi)$ である。ここで閉曲線が凸であるとしよう。“直径” $D(\theta)$ は次の定理によ、て分布密度 $f(\theta)$ で表される。

[定理]
$$D(\theta) = \frac{1}{2} \int_0^{2\pi} |\sin(\theta - \theta')| f(\theta') d\theta' \quad (3.1)$$

(証明) 画面の面積を S とする。方向 θ の直線をラジアンに引く。長さ dl 、方向が θ' から $\theta' + d\theta'$ の線素がこの直線に交るのは、その中心がこの直線に当たった幅 $|\sin(\theta - \theta')| dl$ の帯状領域に入るときである。(図3) そのような線素は単位面積当たり $f(\theta') d\theta' / S dl$ だけあるから、直線の単位長さ当りの交点数の期待値は $|\sin(\theta - \theta')| f(\theta') d\theta' / S$ である。あらゆる方向の線素を考えると $\int_0^{2\pi} |\sin(\theta - \theta')| f(\theta') d\theta' / S$ が直線の単位長さ当りの周との交点数の期待値である。一方、画面を方向 θ で微小間隔 $d\theta$ の平行線群でおおうとすると、面積 S の部分にある長さは $S/d\theta$ であ

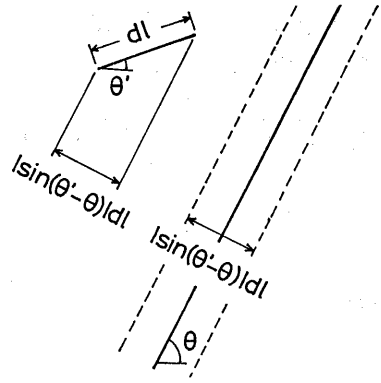
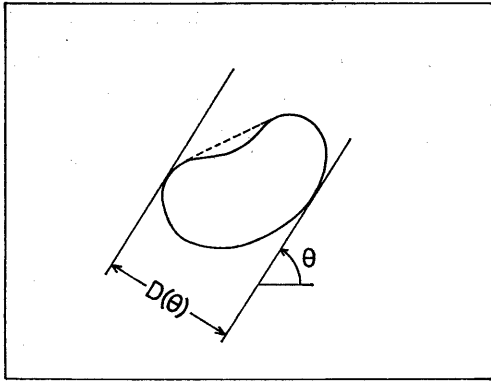


図2. 方向θの直線ではさむ距離D(θ) 図3. 長さdl, 方向θ'の線素は中心が幅がθ方向の"直径"である。

図3. 長さdl, 方向θ'の線素は中心が幅がθ方向の"直径"である。

る。周と交わるものの数は $D(\theta)/dl$ であり、交点数は各々2である(接するものは"謝度0"である。) ゆえに単位長さ当りの交点数は $2D(\theta)/s$ である。以上より定理を得る。(注."ランダムに引く" という正確な意味は直線を $x \sin \theta - y \cos \theta = 長$ とするとき "不変 Haar 測度" dl を用いることであるから平行線であらうのと等価になる。)

式(3.1) は単位円周上の関数 $f(\theta)$ から同じく単位円周上の関数 $D(\theta)$ への線形変換であり、(しかも回転と可換な作用であるから、その逆変換は Fourier 級数により表せる。(詳細は金谷[5][6].) $D(\theta)$ を Fourier 級数で

$$D(\theta) = \frac{C}{2\pi} \left[1 + \sum_{n=2}^{\infty} (A_n \cos n\theta + B_n \sin n\theta) \right] \quad (3.2)$$

とする。Σ' は偶数番目の項のみの和を表す。($D(\theta) = D(\theta + \pi)$ より奇数番目の項は生じない。) すると $f(\theta)$ は次のようになる。

$$f(\theta) = \frac{C/2}{2\pi} \left[1 - \sum_{n=2}^{\infty} (n^2 - 1) (A_n \cos n\theta + B_n \sin n\theta) \right] \quad (3.3)$$

(3.2)式の C, A_n, B_n は次のようにしてデータを計算すればよい。角度 $0 \sim \pi$ を N 等分して $\theta = \pi k/N, k = 0, 1, \dots, N$, に対応する方向の直径を D_k とすると、

$$C = 2\pi \sum_{k=0}^{N-1} D_k / N \quad (3.4)$$

$$A_n = 2 \sum_{k=0}^{N-1} D_k \cos(n\pi k/N) / \sum_{k=0}^{N-1} D_k \quad B_n = 2 \sum_{k=0}^{N-1} D_k \sin(n\pi k/N) / \sum_{k=0}^{N-1} D_k \quad (3.5)$$

以上では閉曲線は凸と仮定したが、凸である必要はない。凸でない場合、"直径"を外側から測ると、これはその閉曲線の"凸包"の"直径"を測っていることになる(図2)。凸包は射影に対して"不変"である。すなわち、像の凸包は凸包の像に等しい。したがって、考えている面の周ではなく、その凸包と始めから考えることにすれば以下同じことになる。要するに面の運動を知るにはその面内に描かれている閉曲線の像が得られさえすればよいのである。これは以下に示す手順を見れば明らかになる。

4. 面の運動の決定

時刻 t における画面上の閉曲線 (面の境界の線) の分布密度を Fourier 級数

$$f(\theta) = \frac{c}{2\pi} [1 + a_2 \cos 2\theta + b_2 \sin 2\theta] \quad (4.1)$$

の形で近似する。これは4次以上の周波数成分は測定誤差による雑音を受け易いからである。画面上には式(2.11)で表される速度場があり、それによつて閉曲線が"流される"ので式(4.1)の係数は時間変化する。その関係は次のようになる[6]、

$$\frac{dc}{dt} = -\frac{c}{4} [b_2 p - (a_2 - 2)\delta] \omega_1 + \frac{c}{4} [(a_2 + 2)p + b_2 \delta] \omega_2 \quad (4.2)$$

$$\frac{da_2}{dt} = \frac{1}{4} [b_2 (1 + a_2)p + (6 - a_2^2)\delta] \omega_1 + \frac{1}{4} [(6 - a_2^2)p + b_2 (1 - a_2)\delta] \omega_2 - 2b_2 \omega_3 \quad (4.3)$$

$$\frac{db_2}{dt} = \frac{1}{4} [(b_2^2 + a_2 - 6)p - a_2 b_2 \delta] \omega_1 - \frac{1}{4} [a_2 b_2 p + (b_2^2 + 4a_2 - 6)\delta] \omega_2 + 2a_2 \omega_3 \quad (4.4)$$

$$\frac{da_4}{dt} = \frac{4}{5} [(b_2 p + a_2 \delta) \omega_1 + (a_2 p - b_2 \delta) \omega_2] \quad (4.5)$$

$$\frac{db_4}{dt} = \frac{4}{5} [(1 - a_2 p + b_2 \delta) \omega_1 + (b_2 p + a_2 \delta) \omega_2] \quad (4.6)$$

$$\frac{da_6}{dt} = \frac{da_8}{dt} = \dots = 0, \quad \frac{db_6}{dt} = \frac{db_8}{dt} = \dots = 0 \quad (4.7)$$

(時刻 t で $a_4 = b_4 = 0$ であり、 $\frac{da_4}{dt} \neq 0, \frac{db_4}{dt} = 0$ であることを注意) 式(3.3)と式(4.1)の比較によつて

$$c = \frac{c}{2}, \quad a_2 = -3A_2, \quad b_2 = -3B_2, \quad a_4 = -15A_4, \quad b_4 = -15B_4, \dots \quad (4.8)$$

がわかる。 c, A_n, B_n は画像上の測定によつて式(3.4)(3.5)から容易に求まる。上の微分方程式とこれらの測定量(あるいは"特徴")に着き直すと次式を得る。

$$\frac{1}{c} \frac{dc}{dt} = [-\frac{3}{4} B_2 p + \frac{1}{2} (1 + 3A_2)\delta] \omega_1 + [\frac{1}{2} (1 - 3A_2)p - \frac{3}{4} B_2 \delta] \omega_2 \quad (4.9)$$

$$\frac{dA_2}{dt} = [B_2 (1 - \frac{3}{4} A_2)p - (\frac{1}{2} - \frac{3}{4} A_2^2)\delta] \omega_1 + [-(\frac{1}{2} - \frac{3}{4} A_2^2)p + B_2 (1 + \frac{3}{4} A_2)\delta] \omega_2 - 2B_2 \omega_3 \quad (4.10)$$

$$\frac{dB_2}{dt} = [(\frac{1}{2} - A_2 - \frac{3}{4} B_2^2)p + \frac{3}{4} A_2 B_2 \delta] \omega_1 + [\frac{3}{4} A_2 B_2 p - (\frac{1}{2} - A_2 - \frac{3}{4} B_2^2)\delta] \omega_2 + 2A_2 \omega_3 \quad (4.11)$$

上式において c, A_2, B_2 は時刻 t の画面上から計算できる。時刻 $t + \Delta t$ での c, A_2, B_2 を測定して、 $\frac{dA_2}{dt} \approx [A_2(t + \Delta t) - A_2(t)] / \Delta t$ 等を用いれば $dc/dt, dA_2/dt, dB_2/dt$ も得られる。(したがって時刻 t での面のグラフィエント (p, δ) がわかれば、これら上式から未知の角速度ベクトル $(\omega_1, \omega_2, \omega_3)$ が求まる。これは次式によつて直接的な形に変形できる。(本論文の骨子!)

$$\begin{bmatrix} \omega_1 \\ \omega_2 \end{bmatrix} = \frac{1}{B_2(\delta^2 - p^2) + 2A_2 p \delta} \left[\frac{1}{2} \left(\frac{A_2 \dot{A}_2}{\frac{2}{3} - \|A\|^2} - \frac{\dot{c}}{c} \right) \begin{bmatrix} A_2 p + B_2 \delta \\ B_2 p - A_2 \delta \end{bmatrix} + \frac{A_2 \dot{A}_2}{\frac{2}{3} - \|A\|^2} \begin{bmatrix} p \\ \delta \end{bmatrix} \right] \quad (4.12)$$

$$\omega_3 = \frac{1}{2 \|A\|^2} \left[[A_2 \dot{A}_2] + (\|A\|^2 - \frac{1}{2} A_2)p - \frac{1}{2} B_2 \delta \right] \omega_1 + \left[-\frac{1}{2} B_2 p + (\|A\|^2 + \frac{1}{2} A_2)\delta \right] \omega_2 \quad (4.13)$$

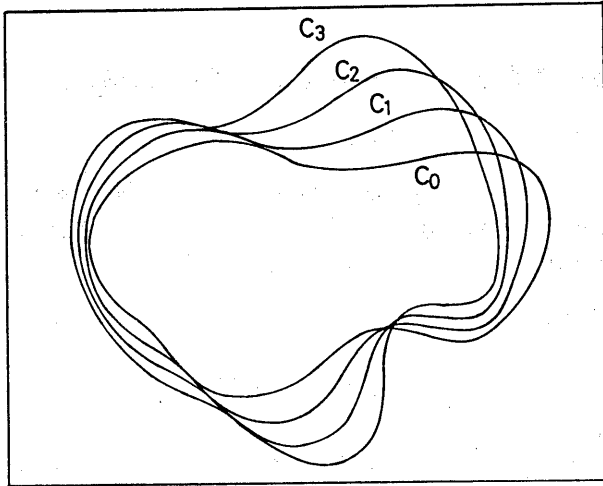


図4. C_0 はスラット 60° , $\bar{\tau}$, ルット 80° の面である。 C_1, C_2, C_3 は C_0 を方向余弦 $(1/\sqrt{3}, 1/\sqrt{3}, 1/\sqrt{3})$ の軸のまわりそれぞれ $10^\circ, 20^\circ, 30^\circ$ 回転させたものである。

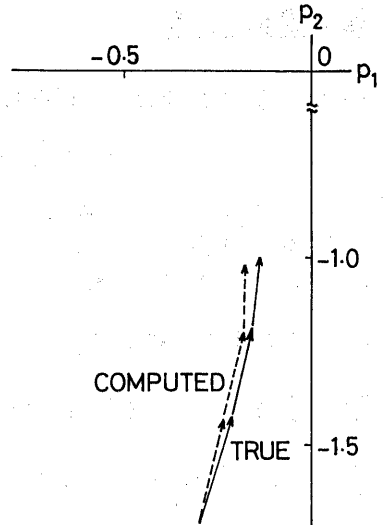


図5. グラジエント空間における面の向き軌跡。実線が真の値、破線は計算値。

ただし次のような記法を用いた。まず $\dot{C} = dC/dt$ であり、

$$\|A\| = \sqrt{A_1^2 + B_1^2}, \quad (A, \dot{A}) = A_2 \frac{dA_1}{dt} + B_2 \frac{dB_1}{dt}, \quad [A, \dot{A}] = A_2 \frac{dB_2}{dt} - B_2 \frac{dA_2}{dt} \quad (4.14)$$

とおいた。時刻 t でのグラジエント (p, β) が既知のとき、画像上の計算によ、式(4.12), (4.13)から角速度 $(\omega_1, \omega_2, \omega_3)$ がわかる。すると式(2.10)より、たとえば

$$\begin{cases} p' \approx p + [p\beta\omega_1 - (p^2+1)\omega_2 - \beta\omega_3] \Delta t \\ \beta' \approx \beta + [(p^2+1)\omega_1 - p\beta\omega_2 + p\omega_3] \Delta t \end{cases} \quad (4.15)$$

により、時刻 $t+\Delta t$ でのグラジエント (p', β') を知ることができる。これを繰り返せば、面の時刻0での初期方向さえわかれば、以後は画像のみからその方向の変化を追跡できることになる。

5. 例題

図4のように運動している面を考える。 C_0 のグラジエントは $p = -0.506$, $\beta = -1.706$ である。面の向きの変化は $p-\beta$ 平面("グラジエント空間")内の軌跡として表せる。図5に真の軌跡と計算値を示す。ただし直径は 10° ごとの間隔で測り、 T_2 。(N=18) 図4のように比較的大きな相対的変化に対しては、かなりよに近いと手立てていることがわかる。ただし計算にいくつか工夫を加えた。式(2.11)で ω_3 には p や β が掛って、つながらぬことかよわかるように、 ω_3 の効果は ω_1, ω_2 の効果より大きい。そこで式(4.13)で $\omega_1, \omega_2 \approx 0$ と考え $\omega_3 = [A, \dot{A}] / 2\|A\|^2$ を ω_3 の第一近似とし、図形を $\omega_3 \Delta t$ だけ回す。(実際に画像と操作する必要はなく、 $A_2 \rightarrow A_2 \cos(\omega_3 \Delta t) + B_2 \sin(\omega_3 \Delta t)$, $B_2 \rightarrow -A_2 \sin(\omega_3 \Delta t) + B_2 \cos(\omega_3 \Delta t)$ とすればよい。) そうしてかき式(4.12)(4.13)(4.15)によりグラジエント (p', β') を計算し、 $p' \rightarrow p' \cos(\omega_3 \Delta t) - \beta' \sin(\omega_3 \Delta t)$,

$\delta' \rightarrow p' \sin(\omega_{300} t) + \delta' \cos(\omega_{300} t)$ とした。次に式(4.15)を直接には用わず、式(2.6)によ
り、 τ -担法線ベクトルに直してかき、式(2.8)の差分形に適用し、式(2.5)によ
り、 τ -担法線ベクトルに戻した。このほうがやや精度がよいようである。

6. $p = \delta = 0$ の場合

$p = \delta = 0$ のときは式(4.12), (4.13)が適用できない。すなわち、運動を角速度ベ
クトル(回転群の無限小生成作用素)で線形近似することができない。そこで2
次以上の近似が必要となる。時刻 t で $p = \delta = 0$ であるとし、時刻 t' に p', δ' と
なるとする。このとき xy -面上の変換は次式で表される。

$$\begin{cases} x' = (1 - p'^2/2)x - (p'\delta' + \Omega)y + O(p'^4, \delta'^4, \Omega^2) \\ y' = -(p'\delta' - \Omega)x + (1 - p'^2/2)y + O(p'^4, \delta'^4, \Omega^2) \end{cases} \quad (6.1)$$

ただし、 Ω は z -軸回りの任意の回転角である("面内回転")。最後の項はオー
ーを示す剰余項である。これを用いるためには $|\Omega|$ は p', δ'^2 のオー
ーであるとして仮定する。このとき、時刻 t での面の分布密度が式(4.1)で表され
ていれば、時刻 t' では次のようになる。

$$f(t') = \frac{C'}{2\pi} [1 + a_2' \cos 2\theta + b_2' \sin 2\theta + a_4' \cos 4\theta + b_4' \sin 4\theta] + O(p'^4, \delta'^4, \Omega^2) \quad (6.2)$$

$$C' = C \left[1 + \frac{1}{4} p'^2 + \frac{1}{8} (\delta'^2 - p'^2) a_2 - 2p'\delta' b_2 \right] \quad (6.3)$$

$$a_2' = a_2 + \frac{3}{4} (\delta'^2 - p'^2) - \frac{1}{8} a_2 [(\delta'^2 - p'^2) a_2 - 2b_2 p'\delta'] - 2b_2 \Omega \quad (6.4)$$

$$b_2' = b_2 - \frac{3}{4} (2p'\delta') - \frac{1}{8} b_2 [(\delta'^2 - p'^2) a_2 - 2b_2 p'\delta'] + 2a_2 \Omega \quad (6.5)$$

$$a_4' = \frac{5}{8} [(\delta'^2 - p'^2) a_2 + 2p'\delta' b_2] \quad (6.6)$$

$$b_4' = \frac{5}{8} [(\delta'^2 - p'^2) b_2 - 2p'\delta' a_2] \quad (6.7)$$

前と同様の関係によ、 $C, C', A_2, B_2, A_2', B_2'$ と測定することによ、 p', δ' が求
まる。 p', δ' は次の方程式の解となる。

$$\begin{cases} A_2 (\delta'^2 - p'^2) - 2B_2 p'\delta' = -\frac{\delta}{3} (1 - C'/C) \\ p'^2 + \delta'^2 = 4 \left[1 - C'/C + \frac{(A_2 A_2') - \|A\|^2}{2/3 - \|A\|^2} \right] \end{cases} \quad (6.8)$$

そして、 Ω は次のように求まる。

$$\Omega = \frac{[A_2 A_2'] - \frac{1}{4} [B_2 (\delta'^2 - p'^2) + 2A_2 p'\delta']}{2\|A\|^2} \quad (6.9)$$

ただし、次のような記法を用いた。

$$(A, A') = A_2 A_2' + B_2 B_2', \quad [A, A'] = A_2 B_2 - B_2 A_2 \quad (6.10)$$

方程式(6.8)を解くには p', δ' を極座標によ $p' = r \cos \phi, \delta' = r \sin \phi$ とおけば
よい。まず ϕ を次の式で定まる定角とする。

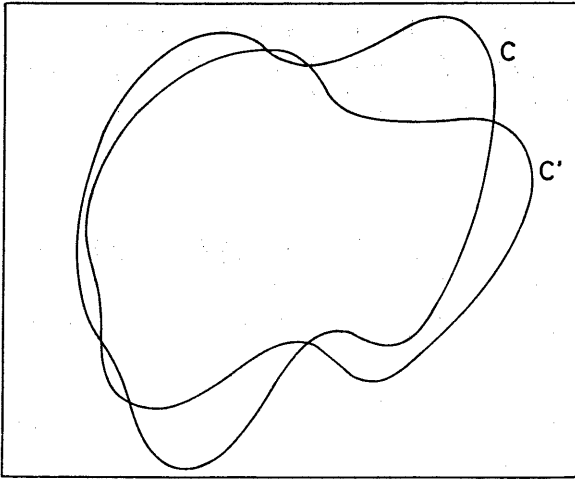


図6. Cはスリット0, C'はスリット30°, ティルト10°あり, 面内で-20°回転している。

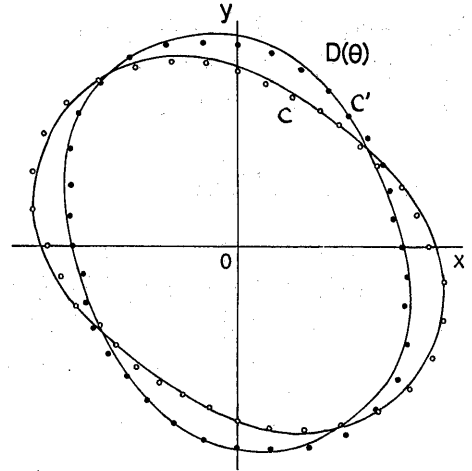


図7. CとC'の10°間隔の“直径”の実測値と, それを近似する2次までのFourier級数。

$$\cos 2\phi_0 = A_2 / \|A\|$$

$$\sin 2\phi_0 = B_2 / \|A\| \quad (6.11)$$

すると解は次のように与えられる。

$$r = 2\sqrt{1 - \frac{C'}{C} + \frac{(A_1 A'_1 - \|A\|^2)}{2/3 - \|A\|^2}}, \quad \phi = \phi_0 + \frac{1}{2} \cos^{-1} \frac{2}{3\|A\| \left[1 + \frac{(1 - C'/C)(2/3 - \|A\|^2)}{(A_1 A'_1 - \|A\|^2)} \right]} \quad (6.12)$$

\cos^{-1} の分岐の中から $|\Omega|$ の最も小さいものを選ぶ。

以上では $|\Omega| \approx p'^2, \delta'^2$ としなが, p'^2, δ'^2 が $|\Omega|$ に比べて小さいとき($|\Omega|$ が p'^2, δ'^2 に比べて大きいときは)は前と同様に, まず式(6.9)で $p', \delta' \approx 0$ と考えて, $\Omega_0 = [A_1 A'_1] / 2\|A\|^2$ と Ω の第一近似とし, 図形を $-\Omega_0$ だけ回転させる。(前と同様 A'_2, B'_2 の变形のみ計算すればよい。)そこで上の手順を用いて p', δ' を計算し, Ω_0 だけ回転した値に変換すればよい。図6は図4と同じ面であるがCは $p = \delta = 0$, C'は $p' = -0.289, \delta' = -0.5$ であり, 面内で-20°回転している。10°間隔で“直径”を測定し, 2次のFourier級数で近似したものが図7である。(白丸がC, 黒丸がC')上の手順によ, て p', δ' を計算したところ, $p' = 0.293, \delta' = 0.420$ であ, た。(真の値は $p' = -0.289, \delta' = -0.5$ である。)極めて大きな相対変位にもかかわらず, より近似が得られていることがわかる。(正射影のため (p', δ') と $(-p', -\delta')$ とは区別できない。)

本論文の方法の特徴は“直径”さえ測れば, あとは直接的代数計算により運動が陽に求まり, 対応点探索を必要としなくなったことである。(より発展した理論[4]参照)

謝辞. 本研究の一部は実吉奨学会の援助による。

文献

1. K. Kanatani, Detection of Surface Orientation and Motion from Texture by a Stereological Technique, Technical Report CS-83-3, Department of Computer Science, Gunma University, 1983.
2. 金谷健一, 平面の傾きと運動の検出, 情報処理学会コンピュータビジョン研究会 24-4 (1983).
3. K. Kanatani, Tracing Surface Motion from Projection without Knowing Correspondence, Technical Report CS-83-5, Department of Computer Science, Gunma University, 1983.
4. K. Kanatani, Tracing Surface Motion from Perspective by Line and Surface Integrals, Technical Report CS-83-6, Department of Computer Science, Gunma University, 1983.
5. K. Kanatani, Distribution of directional data and fabric tensors, Int. J. Engng. Sci. (in press).
6. K. Kanatani, Stereological determination of structural anisotropy, Int. J. Engng. Sci. (in press).